

IV-10 軌道の振動におよぼすまくら木の形状と材質の効果について

京都大学工学部 正員 ○後藤 尚男
近畿日本鉄道 正員 飯間 仁*

1. 緒言

本研究においてはまくら木が軌道の振動性状におよぼす影響に注目し、特にまくら木の形状と材質の効果について考察したものである。ここではまくら木以外の軌道条件や車両条件がなるべく相接近した現地軌道において、木の並まくら木、RSコンクリートまくら木、コンクリート縦まくら木の3種の区間を選んで、まくら木を中心とした軌道の振動性状を測定して、これらの結果に考究検討を加えた。なお道床の振動質量を考慮したまくら木振動の理論的取扱いについても言及した。

2. 現地軌道での測定結果

(1) 現地軌道と道床の硬さ 現地軌道は近畿日本鉄道大阪線、長瀬-3丁目間で、これら3地区はきわめて相接近しその路盤状態は大差ないものと推定される。3種のまくら木の主要値と、そこにおいて測定した道床の硬さを表わすN₆₀は表-1のことおりである。ただしN₆₀は円錐貫入試験機(落錐10kg, 落差51.5cm)で25cm貫入に要する打撃回数で、この値の大きいほど当然道床は硬いと思われる。

(2) 測定結果 まくら木と道床の加速度を非接着ゲージ型加速度計、また道床の変位を電磁型変位計を用いて、これらの各現象を電磁オッショロによって同時測定した。かくして得られた各区間におけるレール中間部の測定結果を一括表示したのが表-2である。なお縫目部における加速度と変位の測定値は中間部におけるよりもかなり大きい値を示した。なお振動数は各車輪による最大加速度付近で読み取ったものである。

3. 測定結果に関する考察

(1) 道床加速度の減衰度 道床加速度波形をみると、木まくら木区間では車輪による加速度は急激に減少するが、RS、縦の両コンクリートまくら木ではこの減衰がそれほど顕著でないことが注目される。この傾向は縫目部においてよくに著しい。

(2) まくら木の吸振効果 まくら木加速度 α_m と道床加速度 α_d との同時記録から両者の関係を調べるとほぼ直線的な対応関係にある。しかも α_m/α_d の平均勾配は木<RS<縦となつてゐる。この関係をさうに明らかにするために α_m/α_d の度数分布を図示すると図-1となる。これより α_m/α_d の平均値は木0.28, RS0.50, 縦0.77となる。この比の小さいことはまくら木

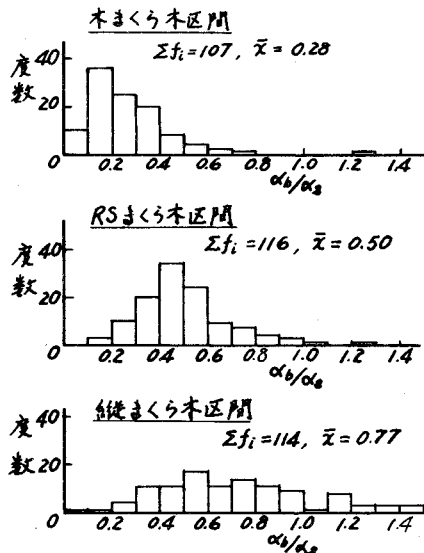
表-1. まくら木の主要値と道床のN₆₀

	木まくら木	RSまくら木	縦まくら木
材料	木材	R.C.および 連続用鋼材	R.C.
重量	62 kg	202 kg	540 kg
底面積	5520 cm ²	4200 cm ²	13200 cm ²
N ₆₀	84 回	67 回	50 回
縫目部	87:	54:	31:

表-2. 測定結果の平均値と分布範囲

測定項目	木まくら木	RSまくら木	縦まくら木
加速度	平均 1.71% (0.2~4.5%)	1.18% (0.2~4.5%)	0.73% (0.2~3.5%)
振動数	平均 610 Hz (300~900Hz)	575 Hz (400~800Hz)	450 Hz (300~600Hz)
道床加速度	平均 0.35%	0.50%	0.47%
道床振動数	平均 175 Hz (130~200Hz)	155 Hz (120~190Hz)	124 Hz (100~160Hz)
変位	平均 0.19 mm (-0.3~0.4 mm)	0.33 mm (-0.9~0.7 mm)	0.21 mm (-0.5~0.6 mm)

図-1.



4. 道床の振動質量を考慮したまくら木振動数の計算

(1) 計算式 まくら木の振動では道床の振動質量を考慮すべきである。ソ連の B. N. Burkche 氏は構造物の下にいわゆる soil prism を仮定し、その総振動を解いて、振動質量を考慮した動的なばね定数 $R(m)$ を求めた。この $R(m)$ に支持されたと考えたまくら木の振動数方程式は次式となる。

$$m w_i^2(m) = \frac{w_i(m)/E_0}{\tan \frac{w_i(m)}{K_0} \sqrt{\frac{E_0}{3}}} + EI \left(\frac{r_i}{l} \right)^4$$

(2) 数値計算 現地における道床の E_0 と K_0 を推定し、まくら木の各値を上式に代入して各まくら木の振動数を算出した。その結果からまくら木の第0次の振動数 $n_0(m)$ (荷を無視した場合) と、上式から $n_0(m) = w_0(m)/2\pi$ を算出し、これらと道床振動数実測値と対比したのが表-3である。

5. 結言

本研究で得られた成果を要約するとつきのとくである。1) まくら木振動加速度はまくら木自重の軽いほど大きいといえる。2) 道床振動加速度はおおむねまくら木自重に比例する傾向にあるようである。3) まくら木の加速度吸振効果は木>RS>縦となる。4) まくら木の材質、弾性、自重の影響が大きいようである。5) 振動数は道床、まくら木とも木>RS>縦となる。6) 縫目部における道床振動の時間的な減衰割合からして、コンクリートまくら木軌道の縫目部は劣化しやすいと考えられる。7) 上記の1)~5)の各結果にはまくら木の材質、形状、弾性、自重の外に有効支持面積、道床硬さなどが影響している。8) 道床の振動質量を工学的に考慮してまくら木の振動数を算出し、道床振動数の実測値と対照した結果、道床にはまくら木の第0次の振動が支配的に現われているらしいことがわかった。

の加速度伝達が小さい、したがってその吸振効果が大きいものと考えてよからう。このようば意味での吸振効果の大きさは木>RS>縦となる結果が明瞭に出ている。また α_s/α_w の測定結果よりまくら木重量が大きいほど、木まくら木よりコンクリートまくら木の方が、さらに道床が硬いほど、いずれもまくら木の吸振効果がよくないという傾向が認められた。

(3). 各まくら木間の関係 道床まくら木の振動周期とまくら木の重量底面積の関係では、まくら木重量が大きいほど道床まくら木の振動周期が大きくなる傾向が再確認された。またまくら木面積については、道床反力の束から有効面積のごときものによつて対比すべきであろう。

表-3.

	木まくら木区間	RSまくら木区間	縦まくら木区間
まくら木振動数 計算値 $n_0(m)$	273 % (2.46)	117 % (1.05)	111 % (1.00)
同上 $n_0(m)$	124 % (1.59)	87 % (1.12)	70 % (1.00)
道床振動数 実測値	175 % (1.41)	155 % (1.25)	124 % (1.00)

* 昭.36.3.京大工, 土木工学研究科修了。